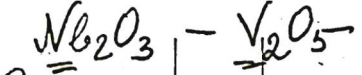


NG-V



1965

Система

as

окислов

13 Б648. Фазовые равновесия в системе окись ванадия — окись ниобия. Waring J. L., Roth R. S. Phase equilibria in the system vanadium oxide-niobium oxide. «J. Res. Natl. Bur. Standards», 1965, A 69, № 2, 119—129 (англ.)

На основании исследования методами закалки и рентгеновским простроена фазовая диаграмма псевдо-бинарной системы V_2O_5 — Nb_2O_5 . Установлено наличие 3 соединений: $\text{V}_2\text{O}_5 \cdot 9\text{Nb}_2\text{O}_5$ с объемноцент. тетрагон. структурой, $a = 15,72\text{\AA}$, $c = 3,821\text{\AA}$, плавится инконгруэнтно при $\sim 1290^\circ$; $2\text{V}_2\text{O}_5 \cdot 23\text{Nb}_2\text{O}_5$ с монокл. ячейкой $a = 29,77$, $b = 3,823$, $c = 21,05\text{\AA}$ и $\beta = 95^\circ 16'$, существует в интервале

X. 1966. 13

т-р 1284—1327°; третье соединение (X) существует в интервале конц-ий 93—94 мол.% Nb_2O_5 и плавится инконгруэнтно при 1332°. Обнаружено наличие р-римости до 5 мол.% Nb_2O_5 в V_2O_5 и практическое отсутствие р-римости Nb_2O_5 в V_2O_5 . Установлено наличие эвтектической точки при ~1 мол.% Nb_2O_5 и 648°. Проведено повторное исследование богатых Nb_2O_5 областей в след. псевдо-бинарных системах: $\text{ZnO}-\text{Nb}_2\text{O}_5$, $\text{NiO}-\text{Nb}_2\text{O}_5$, $\text{Al}_2\text{O}_3-\text{Nb}_2\text{O}_5$, $\text{TiO}_2-\text{Nb}_2\text{O}_5$ и $\text{ZrO}_2-\text{Nb}_2\text{O}_5$. Установлено, что область до 90 мол.% Nb_2O_5 , к-рую раньше считали областью тв. р-ра на основе Nb_2O_5 , представляет собой смесь фаз, аналогичных фазам, найденным в системе $\text{V}_2\text{O}_5-\text{Nb}_2\text{O}_5$.

И. Марчукова

V₂O₅ - Nb₂O₅

1965

→ 11 E253. Фазовое равновесие в системе окись ванадия — окись ниобия. Waring J. L., Roth R. S. Phase equilibria in the system vanadium oxide-niobium oxide. «J. Res. Nat. Bur. Standards», 1965, A69, № 2, 119—129 (англ.)

Система
из окисей

Методами рентгеноструктурного анализа и определения т-р плавления построена диаграмма состояния псевдобинарной системы V₂O₅—Nb₂O₅. Установлено наличие трех соединений: VNb₉O₂₅ [V₂O₅ · 9Nb₂O₅] имеет объемно-центрированную тетрагональную структуру с $a=15,72 \text{ \AA}$, $c=3,821 \text{ \AA}$ и плавится инконгруэнтно при $\sim 1290^\circ \text{C}$; V₂Nb₂₃O₆₂ [2V₂O₅ · 23Nb₂O₅] имеет моноклинную ячейку с $a=29,77 \text{ \AA}$, $b=3,823 \text{ \AA}$, $c=21,05 \text{ \AA}$ и $\beta=95^\circ 16'$ и существует в интервале т-р 1284—1327° С; третье соединение существует в интервале конц-ий 93—94 мол. %, Nb₂O₅ и плавится инконгруэнтно при 1332° С. Обнаружено наличие растворимости до 5 мол. % V₂O₅ в Nb₂O₅ и практическое отсутствие растворимости Nb₂O₅ в V₂O₅. Установлено наличие эвтектических точек при ~ 1 мол. % Nb₂O₅.

9.1965 E.11

с т-рой гревращения 648° С. Проведено повторное ис-
следование богатых Nb_2O_5 областей в следующих псев-
добинарных системах: $ZnO-Nb_2O_5$, $NiO-Nb_2O_5$, TiO_2-
 Nb_2O_5 и $ZrO_2-Nb_2O_5$. Установлено, что область до
9 мол. % Nb_2O_5 , которую раньше считали областью твер-
дого раствора на базе Nb_2O_5 , представляет собой смесь
фаз, аналогичных фазам, найденным в системе V_2O_5-
 Nb_2O_5 . Библ. 29 назв.

И. Марчукова



Ti-V-Al, Zr-V-Al
Nb-V-Al, Ta-V-Al
Ti-Ta-Al, Nb-Fe-Al

VII 4430
1966

Raman Aravamudhan
Z. Metallkunde
1966, 37, N 5, 535-540

Met Ec^mg p.k.

VII 4544

1967

Nb_2CuV_2C (kp. crp.)

Rudy E., Bruyl Ch.E.,

J. Amer. Ceram. Soc.,

1967, 50, N5, 265-268



Mrs

ee76 cp.k.

V-Nb, Ta (cubic) VII-504 1970

Nb-Ta

Cp

D 8

T_{sc}

(81913g) Specific heat and superconductivity of binary alloys containing vanadium, niobium, and tantalum. Corsan, John M.; Cook, Alfred Joseph (Nat. Phys. Lab., Teddington, Engl.). *Phys. Status Solidi* 1970, 40(2), 657-65 (Eng). The electronic sp. heat coeff., γ , the Debye temp., θ_D , and the superconducting transition temp., T_c , were measured for binary bcc. alloys of V, Nb, and Ta. These results were used to investigate the effects of compositional changes on parameters used in the theory of supercond. to describe the transition temp. Changes in transition temp. with changes in compn. cannot be explained simply on the basis of an alteration of the d. of states except in the case of binary Nb-Ta alloys. For V-Nb and V-Ta alloys, changes in the interaction responsible for supercond. also govern changes in the transition temp.

RCPR



C.A. 1970

73 · 16

$V_{1-x}Nb_xO_2$

1972.

144844r Metal-insulator transition in the $V_{1-x}Nb_xO_2$ system.
X. Crystallographic and transport properties. Villeneuve, G.;
Bordet, A.; Casalot, A.; Pouget, J. P.; Launois, H.; Lederer,
P. (Serv. Chim. Miner. Struct., Univ. Bordeaux I, Talence,
Fr.). *J. Phys. Chem. Solids* 1972, 33(10), 1953-9 (Eng). The
 $V_{1-x}Nb_xO_2$ system was studied by x-ray diffraction as a function
of temp. and compn.; as in earlier works 3 phases were shown to
exist: a monoclinic phase which has the low-temp. VO_2 struc-
ture, and 2 tetragonal phases, 1 phase having the rutile structure
and the other the low-temp. NbO_2 structure. By using DTA,
elec. cond., and thermoelec. power data, the V-rich domain
($x \leq 0.50$) was investigated. In the low-concn. region, ($x < 0.10$),
an electronic nonmetal \rightleftharpoons metal transition close to the crystallog.
transition was obsd., the transition temp. T_t decreasing with
increasing x . For large concns. ($x \geq 0.15$), the transition is
broadened and occurs in a temp. range which increases with x ;
it becomes weaker and corresponds to the transition between 2
semiconducting phases. At high temp., a metal \rightleftharpoons nonmetal
transition occurs without structural changes, when x increases,
near $x = 0.12$. A phase diagram is constructed for the VO_2-
 NbO_2 system with $x < 0.15$.

C.A. 1972. 77. N22.

$V_{1-x}Nb_xO_2$

2 E592. Вклад в изучение перехода «металл—изолятор» в системе $V_{1-x}Nb_xO_2$. I. Кристаллографические

1972

свойства и явления переноса. Villeneuve G., Bogaert A., Casalot A., Pouget J. P., Launois H., Lederger P. Contribution to the study of the metal-insulator transition in the $V_{1-x}Nb_xO_2$ system. I. Crystallographic and transport properties. «J. Phys. and Chem. Solids», 1972, 33, № 10, 1953—1959 (англ.)

Система $V_{1-x}Nb_xO_2$ исследовалась рентгенографически при изменении т-ры и состава. Показано существование 3 фаз: моноклинной (как у VO_2 при низкой т-ре) и двух тетрагональных. При $x < 0,1$ наблюдался переход «металл—изолятор», расположенный по т-ре рядом с кристаллографическим. Его критич. т-ра T_{kp} падает с ростом x . При $x \geq 0,15$ переход уширяется, скачок сопротивления уменьшается, и его температурный интервал растет с ростом x . При $x = 0,12$ происходит также высокотемпературный переход «металл—изолятор», не связанный со структурным переходом. Ю. И. Балкарей

Еб-Ба

Ф 9202-73-2

$V_{1-x}Nb_xO_2$ (cp)

1973

(T_{tr})

108910's Preparation by vapor phase transport and characterization of single crystals of the ternary oxide, vanadium niobium oxide ($V_{1-x}Nb_xO_2$ ($0 \leq x \leq 0.33$))). Launay, Jean C.; Villeneuve, Gérard; Pouchard, Michel (Serv. Chim. Miner. Struct., Univ. Bordeaux I, Talence, Fr.). *Mater. Res. Bull.* 1973, 8(8), 997-1005 (Fr). Single crystals of $V_{1-x}Nb_xO_2$ ternary oxide ($0 \leq x \leq 0.33$) are prep'd. by chem. transport using TeCl_4 . The compns. are detd. by thermogravimetric anal. under O_2 , x-ray diffraction measurements, and evaluation of the insulator-metal transition temp.

C.A. 1973. 79 N18

B9 - 758 - XVII

1973

V₂NbO₅F

10 B31. О новых оксифторидах со структурой рутила и трирутила M_2NbO_5F ($M=Ti, V, Cr$). Senegas Jean, Galy Jean. Sur de nouveaux oxyfluorures de structure rutile et trirutile M_2NbO_5F ($M=Ti, V, Cr$). «C. r. Acad. sci.», 1973, C277, № 22, 1243—1246 (франц.)

Взаимодействием в запаянных Au-трубках M_2O_3 (I) ($M=Ti, V, Cr$) с NbO_2F (II) синтезированы при медленном подъеме т-ры до 700° в виде блестящих черных крист. порошков ($M=Ti, V$) или при 900° в течение 24 час и при контрдавл. 2 кбара в виде корич. порошка ($M=Cr$) оксифториды с общей ф-лой M_2NbO_5F (III). I ($M=V, Ti$) получены восстановлением V_2O_5 водородом при т-ре 800° и восстановлением TiO_2 по р-ции $Ti+3TiO_2=2Ti_2O_3$ в вакууме при 1800° (ВЧ-нагрев). Исходный Cr_2O_3 (чистота 99,6%) высушен перед употреблением при 300° в течение 24 час. II получен взаимодействием 40% HF с Nb_2O_5 с послед. к-тной промывкой и сушкой осадка в атмосфере Ag при 400° . III изучены методами рентгенофазового анализа [способ порошка ($M=Ti, V, Cr$) и Вайсенберга ($M=V$) на монокристалле полученном при 950°] и магнитной вос-

(Ti?)

X. 1974

N/D

примечивости^ь ($M=V$). Установлено, что III ($M=Ti$, V) изоструктуры с $NbVO_4$ (IV) и $NbTiO_4$ (V) и имеют тетрагональную решетку типа рутила с параметрами элементарной ячейки a 4,703, c 3,008 ($M=Ti$ и a 4,655, c 3,032 Å, ρ (изм.) $4,94 \pm 0,05$, ρ (выч.) 4,95, $Z=2/3$ (по отношению к элементарной ячейке IV и V), ф. гр. $P4_2/mnm$ ($M=V$). Рентгенограмма III ($M=Cr$) индицирована на основе псевдогексагональной элементарной ячейки трирутила с параметрами a 4,700, c 9,180 Å, причем уточнение параметра c обусловлено упорядочением атомов Cr и Nb в катионной подрешетке рутила. Отмечено, что III ($M=Cr$) — первый пример оксифторида со структурой трирутила. Указано, что III ($M=V$) парамагнетик, подчиняется закону Кюри-Вейса и имеет парамагнитную температуру Кюри $-17^\circ K$. Измеренная мол. константа Кюри и вычисленная атомная константа Кюри для V^{3+} равны соотв. 2,28 и 1,20, что подтверждает степень окисления V, равную 3 для обоих атомов V. Обсуждено строение III в зависимости от ионных радиусов и электронной конфигурации M^{3+} . Авторы полагают, что упорядочению Cr_2NbO_5F способствует относительно малый ионный радиус Cr^{3+} по сравнению с V^{3+} и Ti^{3+} .

С. С. Плоткин

1973

 V_2NbO_5F

B9 - 758 - XVII

(Taurie)

55406u New oxyfluorides of rutile and trirutile structure; M_2NbO_5F ($M = Ti, V, Cr$). Senecas, Jean; Galy, Jean-Serv.; Chimi. Miner. Struct., Univ. Bordeaux I, Talence, Fr... C. R. Acad. Sci., Ser. C 1973, 277(22), 1243-6 (Fr). M_2NbO_5F ($M = Ti, V, Cr$) were prepd. by allowing M_2O_3 to react with NbO_3F in a sealed tube at 1400° . The oxyfluorides have rutile-type structures when $M = Ti, V$, becoming trirutile when $M = Cr$. The magnetic susceptibility of V_2NbO_5F follows the Curie-Weiss law with a paramagnetic Curie temp. of $-17^\circ K$.

C.A.1974.80.N10

V-Ga-Nb (Nb,p-p)

1974

(
разобр.
групп.)

Киселевко Г.С. и гр.

МУК. ген. с БЕЛУХО

№ 1962 - 74 , 12pp.



лаб. V-Ga-Zr, I

$V_{1-x}Nb_xO_2$ 1975

Horlind, et al.

$V_{1-x}Ti_xO_2$

Chem. Commun. Univ.
Stockholm, 1975 n 9
14 pp.

(f+r)

Chem. $V_{1-x}W_xO_2$; I)

51215.7346
Ch, Ph, TC

Файл № 51215.7346
GR 1976
Nb_x V_{1-x}O₂ обзор от 4920

K p. N 51215.7334K

Honig J.M., Van Zandt L.L.

The metal-insulator transition in selected oxides.

"Annu. Rev. Mater. Sci. Vol. 5". Palo Alto,
Calif., 1975, 225-278

о (англ.)

483 483

ВИНИТИ

VxNby

1974

Мосокасов В.В.; 49р.

разобран
шпарк.

Ил. разн. хромат.,
1974, 51(8), 2022-5

(см. VxNby; -)

$\text{Fe}_x \text{Nb}_x \text{V}_{2-x} \text{O}_4$

отмечена 6030 1974

Золомужкин А. В.

показали
спектроп.
спектр. Spectrosc. Lett., 1974,
10(40), 841-45

Mn_{0,5}NbS₂ 1978

15 Б690. О магнитной аномалии в $Mn_{0,25}NbS_2$.
Boswell F. W., Vaughan W. R., Cobbett J. M.
On the magnetic anomaly in $Mn_{0,25}NbS_2$. «J. Solid State
Chem.», 1978, 24, № 1, 115—117 (англ.)

Методом хим. транспортных р-ций в двухзонной пе-
чи с т-рами «горячей» зоны 1290° К и «холодной» зоны
1140° К и йодом в кач-ве транспортного агента из
предварительно синтезированного поликрист. продукта
выращены монокристаллы интеркалированного соедине-
ния $Mn_{0,5}NbS_2$ (I). На основе электронномикроскопич.
данных установлено, что при комн. т-ре I состоит из
двух упорядоченных фаз с параметрами решетки $2a_0$
и $\sqrt{3}a_0$ (a_0 — параметр решетки NbS₂). При т-ре
 $688 \pm 20^\circ$ К фаза I с параметром решетки $2a_0$ перехо-
дит в неупорядоченное состояние, причем этот переход
носит обратимый характер. Отмечено, что аномалия
магнитных св-в, наблюдаемая при $T=680^\circ$ К, связана
с обнаруженным структурным переходом. Обсужден ха-
рактер упорядочения интеркалированных атомов в
обоих упорядоченных фазах I. Указывается, что ано-
малия магнитных св-в $M_{0,25}NbSe_2$ ($M=Ti, V, Cr, Mn,$
 Ni), наблюдающаяся при т-ре $\sim 750^\circ$ К, может быть
обусловлена таким же разупорядочением интеркалиро-
ванных атомов; как и в I, поскольку структуры NbS₂
и NbSe₂ аналогичны.

В. М. Новоторцев

X, 1978/15

$\text{Cr}_x \text{Nb}_x \text{V}_{2-x} \text{O}_4$

1978

$\text{Fe}_x \text{Nb}_x \text{V}_{2-x} \text{O}_4$

89: 155759r Phase transitions in chromium niobium vanadium oxide ($\text{Cr}_x \text{Nb}_x \text{V}_{2-x} \text{O}_4$) and iron niobium vanadium oxide ($\text{Fe}_x \text{Nb}_x \text{V}_{2-x} \text{O}_4$) solid solutions. Pletnev, R. N.; Fotiev, A. A.; Zolotukhina, L. V.; Kapustkin, V. K. (Inst. Khim., Sverdlovsk, USSR). *Dokl. Akad. Nauk SSSR* 1978, 241(4), 873-6 [Phys. Chem.] (Russ). The properties of the $\text{Cr}_x \text{Nb}_x \text{V}_{2-x} \text{O}_4$ and $\text{Fe}_x \text{Nb}_x \text{V}_{2-x} \text{O}_4$ ($0 \leq x \leq 0.09$) solid solns. were studied and an attempt was made to det. the factors which affect the phase transition temp. NMR spectra of ^{51}V at several compns. in the various phases were detd. and parameters caled. The phase transition temps. decrease in $\text{Cr}_x \text{Nb}_x \text{V}_{2-x} \text{O}_4$ and $\text{Fe}_x \text{Nb}_x \text{V}_{2-x} \text{O}_4$ with increasing x ; the most important factor detg. the phase transition temps. is the size of the cations. Phase transitions in VO_2 and its solid solns. are ordinary crystallog. transitions, involving a change in electronic structure and properties.

(T_c)

(+)

C.A. 1978, 89N18

$Fe_xNb_xV_{2-2x}O_4$ XVII-3159 1978

14 Б973. Изучение $Fe_xNb_xV_{2-2x}O_4$ методом ЯМР.
Золотухина Л. В., Плещинев Р. Н., Фотин-
ев А. А., Капусткин В. К. «Ж. неорганической химии»,
1978, 23, № 1, 27—29

Система $Fe_xNb_xV_{2-2x}O_4$ ($0 < x \leq 0,09$) исследована с
помощью методов ЯМР, ЭПР, рентгенофазового анали-
за и измерения электросопротивления при т-ре 230—
350 К. Образцы получены спеканием смеси $FeNbO_4$ и
 VO_2 при 1100° в кварцевых ампулах, откаченных до
давл. $\sim 5 \cdot 10^{-5}$ мм. Спектр ЯМР ^{51}V записывали на
частоте 12 мГц с помощью генератора слабых колеба-
ний. В низкотемпературной области системы найдены три фазы:
 M_1 , M_2 и M_3 с моноклин. решеткой, обладающие полупро-
водниковыми свойствами. При т-ре выше коми. они пере-
ходят в тетрагональную фазу R с металлической проводимостью,
причем т-ра перехода снижается с ростом конц-ии Fe
и Nb.

Л. В. Шведов

2, 1978, N 14

Fe - V₂C - NbC

=
grasses quazif

1980

93: 246378q Phase diagram of the iron-vanadium carbide-niobium carbide quasi-triple system. Dmitrieva, G. P.; Shurin, A. K. (Inst. Metallofiz., Kiev, USSR). *Poroshk. Metall.* (Kiev) 1980, (10), 48-51 (Russ). The quasi-ternary Fe-VC-NbC phase diagram was constructed from DTA, electron microprobe, and microstructural data. A quasi-ternary eutectic crystallizes at 1295° and Fe 70, VC 20, and NbC 10 wt.%. Below 900°, 4-phase invariant equil. occur which are related to $\alpha \rightarrow \gamma$ transitions in Fe.



(+) ①

Fe (Ttr)



C. A. 1980. 93 1/26

NBR [ommited 10436] 1980.

(exsic) Chatterjee P.

(Ter) Can. J. Phys., 1980, 58
1383-87

● (Can NBTa)I

Nb VO_x

1982

ЗБ836. Моделирование активности кислорода в тройных твердых растворах: система ниобий — ванадий — кислород. Modeling oxygen activities in ternary solid solutions: niobium — vanadium oxygen system. De Avillez R. R., Altstetter C. J. «Acta met.», 1982, 30, № 8, 1613—1617 (англ.; рез. фр., нем.)

Статистическая сумма по состояниям для интерстициального р-ра кислорода в тв. р-ре Nb—V построена в квазихим. приближении Гуггенгейма с учетом взаимодействия атомов О как с ближайшими соседями, так и со 2-ой координац. сферой. Энергетич. параметры этих взаимодействий подобраны из условия наилучшего совпадения теор. и эксперим. зависимостей коэф. активности О от состава тв. р-ра и т-ры. Сделан вывод, что возможность полного согласования теор. модели с эксперим. данными свидетельствует о том, что взаимодействие интерстициальных атомов О действи-

Термодинамика
сплавов

X. 1983, 19, № 3

тельно распространяется до 2-ой координац. сферы. Найденные оценки энергетич. параметров взаимодействия показывают, что атомы O промотируют ближнее упорядочение, проявляющееся в предпочтительности нахождения V в 1-ой координац. сфере O, а Nb во 2-ой.

М. Я. Френкель

1982

V₂Nb₂O₉

3 B19. Получение новых ниобатов со структурой рутила. Preparation of new niobates with the rutile structure. Nair K. Ravindran, Greenblatt M. «Mater. Res. Bull.», 1982, 17, № 8, 1057—1060 (англ.)

Нагреванием в вакуумированной ($2 \cdot 10^{-2}$ Торр) кварцевой трубе при 1000°C в течение 3 суток смесей $\text{V}_2\text{O}_4 + \text{Nb}_2\text{O}_5$ или $\text{V}_2\text{O}_5 + 2\text{NbO}_2$ получен $\text{V}_2\text{Nb}_2\text{O}_9$ (I). Смешиванием I с оксидами Cr_2O_3 , Fe_2O_3 или NiO (в мол. отношении I : оксид 1 : 1) с послед. нагреванием полученных смесей при тех же условиях синтезированы MVNbO_6 [$\text{M} = \text{Cr}$ (II) и Fe (III)] и $\text{NiV}_2\text{Nb}_2\text{O}_{10}$ (IV) соотв. Альтернативным синтезом II—IV является аналогичная термич. обработка оксидов Cr_2O_3 , Fe_2O_3 или NiO в смесях с V_2O_4 и Nb_2O_5 (1 : 1 : 1) или с V_2O_5 и NbO_2 (1 : 1 : 2). Идентификация I—IV выполнена рентгенодифрактометрически (приведены значения I и d рентгенограмм порошков I и III). Установлено, что II—IV изоструктурны FeNbO_4 (типа рутила). Рас-

MVNbO₆

X. 1983, 19, N3

считанные на основании структуры рутила значения параметров a и c II—IV составляют 4,604 и 2,989; 4,631 и 3,005; 4,653 и 2,999 Å соотв. Электропроводность II—IV (уд. сопротивление при комн. т-ре $\sim 10^3$ ом·см) объяснена нестехиометричностью соединений.

Г. П. Чичерина



Nb-V-66 Ldmnuk 15717/1 1982

SOKOLOVSKAYA E.M.,
RODIONOV V.I.,
G.Y. less - Common. Me-
tals, 1982, 87, N° 1, 83--
86.

№-V

1983

Айтбайев Б. К. О.,

О коррелируемых диффузионных
параметров с т-расе соединения
и ликвидации в системах $Ti-V$,
 $Ti-Nb$, $Nb-V$, $Nb-Zr$.

Научно-техническая конференция по-
священная 100-летию со дня рождения
М. В. Ломоносова.
Москва, 25-28 янв., 1983.

МГУ. М., 1983, 2. 1, 161 с.

NbVHx

(Om 20662)

1984

10 Б3058. Термодинамическая стабильность гидридов Nb—V-сплавов. Thermodynamic stabilities of hydrides of Nb—V alloys. Lynch J. F., Libowitz C. G., Maeland A. J. J. «J. Less-Common Metals», 1984, 103, N1: Int. Symp. Prop. and Appl. Metal Hydrides IV, Eilat, Apr. 9—13, 1984, 131 (англ.)

Сообщается об исследовании равновесия моногидрид \rightleftharpoons дигидрид ($\beta \rightleftharpoons \gamma$) для системы Nb—V—Н из измерений давл.—состав—т-ра. Анализ зависимости энталпий и энтропий от соотношения Nb/V показал наличие нек-рых интересных аномалий, объясняемых координацией атомов водорода.

А. С. Гузей

Kр;

X, 1985, 19, N 10

V-N^{u. gressa}
(M. 22624) 1985

Kocherzhinsky Yu. A.,
Vasilenko V. I., Kolik O. G.,

T_{t2}

Thermochim. acta, 1985,
93, 649-652.

1985

 $Nb_{0,89}V_{0,11}O_{0,04}$ $Nb_{0,85}V_{0,15}O_{0,05}$ $Nb_{0,80}V_{0,20}O_{0,06}$

22 Б3055 Деп. Термодинамические свойства кислорода в сплавах ниобия, умеренно легированного ванадием. Васильева И. А., Ощенко А. П.; Ред. ж. «Вестн. МГУ, Химия». М., 1985, с. Библиогр. 7 назв. (Рукопись деп. в ВИНИТИ 19 июня 1985 г., № 4354—85 Деп.)

Методом э. д. с. с кислород-ионным электролитом изучены сплавы составов $Nb_{0,89}V_{0,11}O_{0,04}$; $Nb_{0,85}V_{0,15}O_{0,05}$; $Nb_{0,80}V_{0,20}O_{0,06}$. Обнаружены изломы на т-рной зависимости э. д. с. Значениям э. д. с. при т-рах выше т-ры излома приписан потенциалобразующий процесс р-рения кислорода в сплаве, а значениям э. д. с. при т-рах ниже т-ры излома приписан потенциалобразующий процесс окисления насыщ. кислородом сплава до низшего смешанного оксида. Приведены значения параметра взаимодействия Вагнера для р-ров кислорода и V в Nb. Рассчитаны т-рные зависимости конц-ии кислорода в насыщ. тв. р-рах в сплавах. Обнаружено заметное расширение границы области существования тв. р-ров кислорода при введении ванадия.

Автореферат

7gc, бт;

X. 1985, 19, N 22

$VC_{1-x}NbC_{1-x}$

1986

5 Е329. Термодинамические свойства тугоплавких карбидов переходных металлов V группы переменного состава в интервале температур 1200—2500 К. Турчанини А. Г. «Изв. АН СССР. Неорганс. материалы», 1986, 22, № 1, 59—62

Получены ур-ния температурно-концентрационных зависимостей энталпии, теплоемкости, энтропии и приведенной энергии Гиббса для карбидов $VC_{1-x}NbC_{1-x}$, TaC_{1-x} в пределах областей их гомогенности. Предложены ур-ния температурной зависимости энергии Гиббса образования карбидов MC_{1-x} в областях гомогенности.

Резюме

(72) ~~12~~ TaC_{1-x} , карбид

ф. 1986, 18, N5

V-Nb
catal

1987

108: 101951q Determination of chemical potentials and Gibbs free energies in vanadium-niobium, vanadium-molybdenum, and molybdenum-tungsten alloys. Erokhin, L. I.; Ageichenko, V. G.; Abramova, V. G. (USSR). *Diffuz. Protsessy v Met., Tula* 1987, 95-100 (Russ). From *Ref. Zh., Metall.* 1987, Abstr. No. 101106.

SB;

(f2) A

V-Mo,

Mo-W catalin (SB)

C.A. 1988, 108, N 12

NbVO₅

1989

22 В3. Синтез и свойства нового смешанного оксида NbVO₅. Synthesis and characterization of the new mixed oxide NbVO₅ / Amarilla J. M., Casal B., Ruiz-Hitzky E. // Mater. Lett.—1989.—8, № 3—4.—С. 132—136.—Англ.

Медленным добавлением разб. р-ра VO(OBu-изо)₃ в изо-PrOH к р-ру NbCl₅ в том же р-ритеle с послед. добавлением к смеси водн. изо-PrOH [мол. отношение H₂O : V (или Nb) составляло ~3], выдерживанием образовавшегося светло-жел. золя в течение 4—5 ч при 22,5±1°C в атмосфере с относит. влажностью 80% получен гель, термообработкой к-рого при 500°C в течение 6 ч выделен порошкообразный смешанный оксид состава NbVO₅ (I) (метод золь—гель). Альтернативные указанному методу попытки синтеза I в твердофазной р-ции между гидратированными фазами оксидов или соосаждением в водн. р-ре соотв. фторидных комплексов приводят к образованию смесей V₂O₅+Nb₂O₅.

Синтез II

CB - RA

X.1989, №2.2

$V_2O_5 + Ta = Nb_2O_5$ соотв. I и $TaVO_5$ изоструктурны; оба оксида принадлежат структурному типу монофосфатных вольфрамовых бронз $(PO_2)_4(WO_3)_{2m}$ с значением $m=2$, в к-рых одиночные тетраэдры MO_4 ($M=P$ или V) имеют общие углы с октаэдрами $M'O_6$ ($M'=W$, Nb или Ta) с образованием пентагон. туннелей вдоль направления [010]. I кристаллизуется в ромбич. решетке с параметрами a 11,8660(4), b 5,514(1), c 6,915(2) А. Приведены значения I , d и hkl рентгенограммы порошка I. Обсуждены ИК-спектры геля и крист. I.

Г. П. Чичерина

сида

Co-V-Nb-C

1989

110: 237712m Phase diagram of the cobalt-vanadium carbide (VC)-niobium carbide (NbC) system. Dmitrieva, G. P.; Krasnokutskaya, Z. V.; Belyavina, N. N.; Shurin, A. K. (Inst. Metallosiz., Kiev, USSR). *Poroshk. Metall.* (Kiev) 1989, (3), 80-7 (Russ). The phase compn., structure and m.ps. were studied in the Co-V-Nb-C system along the cross-section Co-VC-NbC. A ternary eutectic exists (m.p. $1330 \pm 20^\circ$) but no ternary compd. was found in the system. Data on the boundary systems Co-VC and Co-NbC are evaluated.

m;

c.A.1989, 110, N 26

NbVO₅

1989

22 В3. Синтез и свойства нового смешанного оксида NbVO₅. Synthesis and characterization of the new mixed oxide NbVO₅ / Amarilla J. M., Casal B., Ruiz-Hitzky E. // Mater. Lett.—1989.—8, № 3—4.—С. 132—136.—Англ.

Медленным добавлением разб. р-ра VO(OBu-изо)₃ в изо-PrOH к р-ру NbCl₅ в том же р-ритеle с послед. добавлением к смеси водн. изо-PrOH [мол. отношение H₂O : V (или Nb) составляло ~3], выдерживанием образовавшегося светло-жел. золя в течение 4—5 ч при 22,5±1°C в атмосфере с относит. влажностью 80% получен гель, термообработкой к-рого при 500°C в течение 6 ч выделен порошкообразный смешанный оксид состава NbVO₅ (I) (метод золь—гель). Альтернативные указанному методу попытки синтеза I в твердофазной р-ции между гидратированными фазами оксидов или соосаждением в водн. р-ре соотв. фторидных комплексов приводят к образованию смесей V₂O₅+Nb₂O₅ и

Синтез II

CB - RA

X.1989, № 2.2

$V_2O_5 + Ta = Nb_2O_5$ соотв. I и $TaVO_5$ изоструктурны; оба оксида принадлежат структурному типу монофосфатных вольфрамовых бронз $(PO_2)_4(WO_3)_{2m}$ с значением $m=2$, в к-рых одиночные тетраэдры MO_4 ($M=P$ или V) имеют общие углы с октаэдрами $M'O_6$ ($M'=W$, Nb или Ta) с образованием пентагон. туннелей вдоль направления [010]. I кристаллизуется в ромбич. решетке с параметрами a 11,8660(4), b 5,514(1), c 6,915(2) А. Приведены значения I , d и hkl рентгенограммы порошка I. Обсуждены ИК-спектры геля и крист. I.

Г. П. Чичерина



N₂VO_x

1991

(Cleemann)

115: 100382n Investigations concerning the quasi-binary system vanadium pentoxide-niobium pentoxide. Schadow, H.; Oppermann, H.; Grossmann, O.; Krzewska, K.; Wehner, B. (Tech. Univ. Dresden, D-8027 Dresden, Fed. Rep. Ger.). *Cryst. Res. Technol.* 1991, 26(4), 401-7 (Eng). In the pseudobinary system V₂O₅-Nb₂O₅, it was possible to isolate, by systematic transport reactions, one stable compd. of the mean compn. V_{1.05}Nb_{0.94}O_{2.5} in addn. to the boundary phases, which is in contrast to the information found in the literature. The width of the phase representing this compd. is very small and within the confidence limits of the anal. method of detn. of 0.2%. A max. of 50 ppm Nb₂O₅ dissolves in V₂O₅. The detn. of the solv. of V₂O₅ in Nb₂O₅ failed, bec^ruse the two-phase products formed during the chem. transport of the resp. samples could not be sepd.

C.A. 1991, 115, N 10

VN89 D25

1993

Casais M.T., Gutierrez-Puebla E., et al.,

CRYSTALLOGRAPHY
J. Solid State Chem.
1993, 102, N 1, C. 261-266.

P.A.L.X.N1, 1994, 152023

NbVBx

1995

ЗБ236. Синтез и структурные характеристики нового тройного борида $(V_{1-x}Nb_x)_2B_3$. Synthesis and structure characteristics of the new ternary boride $(V_{1-x}Nb_x)_2B_3$ /Yu Yang, Lundström Torsten // J. Alloys and Compounds .— 1995 .— 229 , № 2 .— С. 243—247 .— Англ.

Новая тройная фаза $(V_{1-x}Nb_x)_2B_3$ (I) получена в поликристаллической (переплавка с последующим отжигом смеси элементных компонентов) и монокристальной (криSTALLизация из раствора в расплаве алюминия) формах. Установлена корреляция между составом исходных шихт и монофазностью конечных продуктов. Параметры ромбической элементарной ячейки I монотонно изменяются в зависимости от соотношения V/Nb в исходной смеси от а 3,1449, б 18,689, с 3,0216 Å ($V/Nb=3$) до а 3,162 б 19,107, с 3,086 Å ($V/Nb=1/2$). Выполнен рентгеноструктурный анализ (λ XMo, 0,71069 Å, 818 независимых рефлексов, R 0,042, R_w 0,051) монокристалла I состава $(V_{0,82})Nb_{0,18}B_3$ (Ia): ф. гр. Стст, параметры элементарной

Структура

Х. 1997, №3

ячейки а 3,1086, в 18,5817, с 3,0114 Å, Z 4, ρ (выч.) 5,69. Атомы V и Nb совместно занимают в структуре Ia две различные кристаллографические позиции (V(1) и V(2)). В одной из них (V1: 0,74 V + 0,26 Nb) атомы V и Nb оказываются над и под тройными цепями, сформированными атомами бора, в другой (V2: 0,91 V + 0,09 Nb) — между плитами, образованными цепями бора. В первом случае атомы V и Nb окружены 12 атомами B (2,336—2,401 Å) и восемью металлическими атомами (2,91—3,10 Å), во втором — семью атомами B (2,238—2,263 Å) и десятью атомами металлов (2,73—3,10 Å). Преимущественная локализация (73,9%) атомов Nb в позиции V1 связывается с большей удаленностью их ближайших соседей по сравнению с наблюдавшейся для атомов в позиции V2.

В. А. Долгих

oxid

Fe-Nb-V (cruel)

1997

127: 7797q Mixing enthalpy measurements of liquid Fe-Nb-V alloys by levitation alloying calorimetry. Nusperling, E.-M.; Thiedemann, U.; Schaefers, K.; Qin, J.; Rosner-Kuhn, M.; Frohberg, M. G. (Inst. Metallic Materials, General Metallurgy Technical Univ., Berlin, Germany). *Rev. Metall. / Cah. Inf. Tech.* 1997, 94(2), 219-226 (Fr), Revue de Metallurgie. The mixing enthalpies were detd. along the Fe₂Nb-V section at 2010 K. The system is exothermic with a min. enthalpy of -11.60 kJ/mol at 30 at.% V.

(mixH)

C.A. 1997, 127, no 1